



Raport

z badań poziomu natężenia pola elektrycznego
w otoczeniu stacji bazowej:

WAL3111

na podstawie sprawozdania P4/56/2023 udostępnionego przez A-CONNECT Anna Garwol-Porosa

Laboratorium prowadzące badania

A-CONNECT Anna Garwol-Porosa
Strażacka 3/2
58-370 Boguszów-Gorce
692 692 875

Zleceniodawca badań

P4 Sp. z o.o.

02-677 Warszawa
790 500 500
kontakt@play.pl

Nr akredytacji: AB 1284

Data wydania sprawozdania: 04.03.2023

Raport zawiera wybrane elementy sprawozdania i służy wyłącznie obrazowemu przedstawieniu informacji o danej instalacji. Raport nie może być wykorzystywany w postępowaniach administracyjnych.

Informacje ogólne

Zgodność z metodyką RMK: Tak

Ograniczenia: Na podstawie art. 122a ust. 1b ustawy Prawo ochrony środowiska (t.j. Dz.U. z 2020 r., poz. 1219, 1378, 1565, 2127, 2338, z 2021 r. poz. 802, 868, 1047, 1162, 1535.), pomiary PEM w lokalach mieszkalnych i użytkowych zlokalizowanych w obszarze pomiarowym badanej stacji bazowej nie zostały przeprowadzone.

Wykorzystanie w obszarze regulowanym: Tak

Przedmiot badań

Identyfikator stacji w UKE	WAL3111
Operator	P4 Sp. z o.o.
Współrzędne	16,2533055; 50,8064444
Rodzaj pracy	ciągła
Rodzaj wytwarzanego pola	stacjonarne

Miejsce badań

Otoczenie stacji bazowej WAL3111 w lokalizacji Szczawno-Zdrój, Ofiar Katynia 3.

Cel badań

1. Zweryfikowanie zgodności z wymaganiami rozporządzenia Ministra Zdrowia z dnia 19 grudnia 2019 r.

Opis stacji bazowych

Tabela 1: Opis anten badanych stacji bazowych

Lp.	Identyfikator stacji w UKE	Typ Producent anteny	Azymut	H	EIRP	Pasmo	Tilt	Tilt w trakcie pomiarów
			[°]	[m]	[W]	[MHz]	[°]	[°]
1	WAL3111	ATR4518R13v06 Huawei	60	21,70	25330*	LTE 1800	0,0 - 10,0	5,0
						LTE 2100	0,0 - 10,0	5,0
2		ATR4518R13v06 Huawei	60	21,70	12730*	UMTS 900	0,0 - 14,0	5,0
						LTE 1800	0,0 - 10,0	5,0
3		ATR4518R13v06 Huawei	160	21,70	25330*	LTE 2100	0,0 - 10,0	5,0
						LTE 1800	0,0 - 10,0	5,0
4	ATR4518R13v06 Huawei	160	21,70	12730*	LTE 2100	0,0 - 10,0	7,0	
					LTE 2600	0,0 - 10,0	7,0	
5	ATR4518R13v06 Huawei	300	21,70	25330*	LTE 2600	0,0 - 10,0	7,0	
					LTE 800	0,0 - 14,0	7,0	
6	ATR4518R13v06 Huawei	300	21,70	12730*	LTE 1800	0,0 - 10,0	5,0	
					LTE 2100	0,0 - 10,0	5,0	
6	ATR4518R13v06 Huawei	300	21,70	25330*	UMTS 900	0,0 - 14,0	5,0	
					LTE 1800	0,0 - 10,0	5,0	
6	ATR4518R13v06 Huawei	300	21,70	12730*	LTE 2100	0,0 - 10,0	5,0	
					LTE 2600	0,0 - 10,0	5,0	

* moc EIRP łączna dla wszystkich częstotliwości anteny

Warunki pomiarów

Pomiary w wyznaczonych punktach wykonano w następujących warunkach:

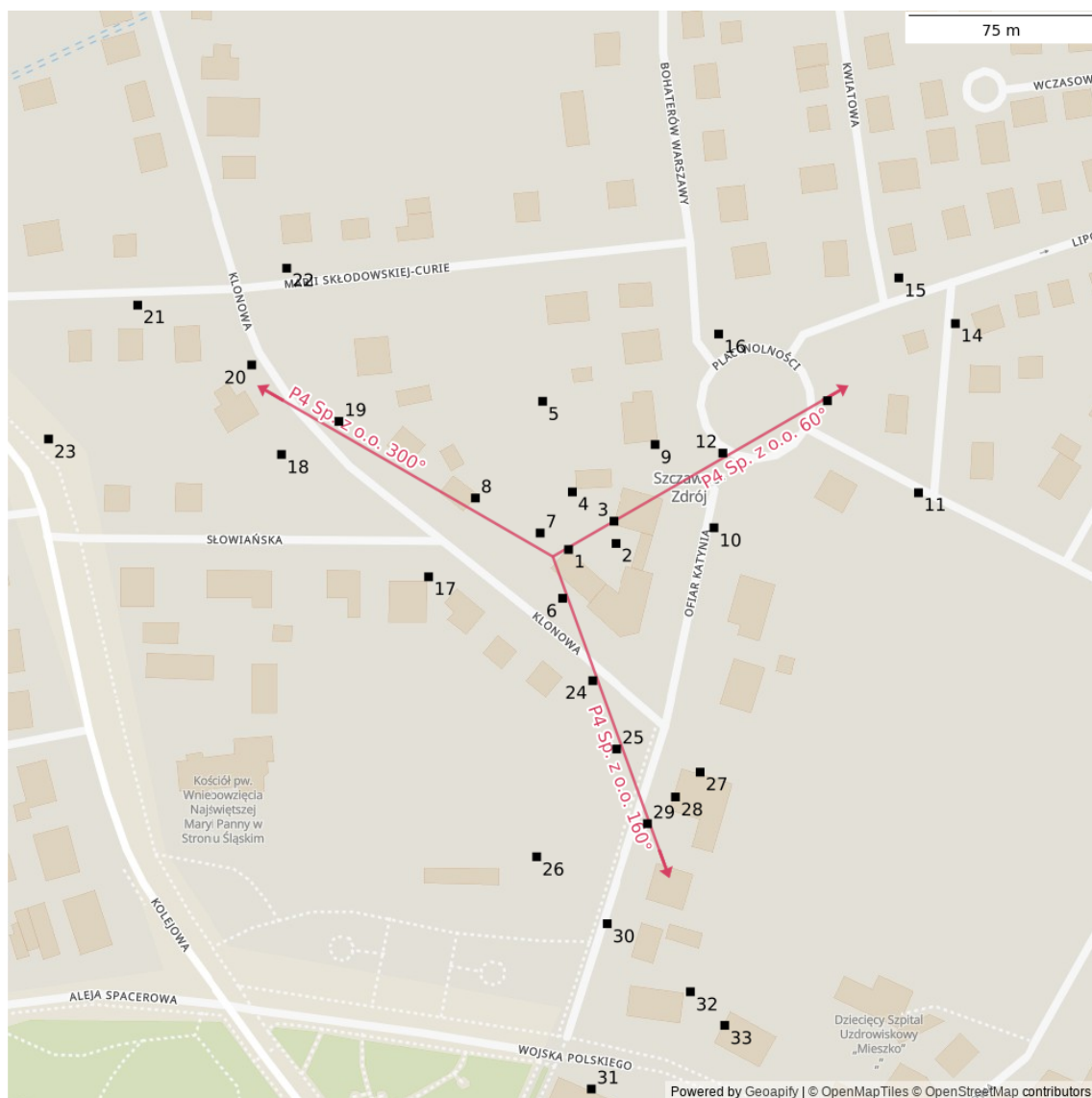
03.03.2023 10:00-11:30			
Warunki środowiskowe	Temperatura [°C]	Wilgotność [%]	Opady
Minimalna	-1,7	74,0	brak
Maksymalna	0,2	80,2	

Aparatura

Tabela 2: Aparatura

MIERNIKI I SONDY					
Lp.	Typ / Nazwa	Model	Producent	Próg detekcji	Świadectwo wzorcowania
1a	miernik	NBM-520	Narda		LWiMP/W/069/22 z dn. 08.03.2022 wydane przez LWiMP Politechniki Wrocławskiej
1b	sonda	EF6091	Narda	0,50	
POZOSTAŁE					
Lp.	Typ / Nazwa	Model	Producent	Świadectwo wzorcowania	
2	termohigrometr	P330	DOSTMANN	47102/2016 z dn. 28.11.2016 wydane przez LAB-EL ELEKTRONIKA LABORATORYJNA ANDRZEJ ŁOBZOWSKI, MARIA ŁOBZOWSKA SP. J.	

Lokalizacje pionów pomiarowych



Rysunek 1: Plan terenu

Dodatkowe informacje o punktach

punkt 1: GKP 60° - okno korytarza - IV/V p., ul. Ofiar Katynia 3

Wyniki pomiarów szerokopasmowych

Tabela 3: Zestawienie lokalizacji pionów pomiarowych oraz wyników pomiarów natężenia pola elektrycznego, pomiary szerokopasmowe

Nazwa	Data	Współrzędne geograficzne	E	WM _E	H	WM _H
		[°]	[$\frac{V}{m}$]		[$\frac{A}{m}$]	
1	03.03.2023	-	12,84	0,459	0,034	0,467

Ciąg dalszy na następnej stronie

Tabela 3: Zestawienie lokalizacji pionów pomiarowych oraz wyników pomiarów natężenia pola elektrycznego, pomiary szerokopasmowe (c.d.)

Nazwa	Data	Współrzędne geograficzne	E	WM _E	H	WM _H
		[°]	[$\frac{V}{m}$]		[$\frac{A}{m}$]	
2	03.03.2023	16,2536690 50,8064920	3,79	0,135	0,010	0,138
3	03.03.2023	16,2536570 50,8065730	3,92	0,140	0,010	0,142
4	03.03.2023	16,2534180 50,8066790	3,24	0,116	0,009	0,118
5	03.03.2023	16,2532470 50,8070080	2,70	0,096	0,007	0,098
6	03.03.2023	16,2533620 50,8062930	3,65	0,130	0,010	0,133
7	03.03.2023	16,2532330 50,8065300	3,79	0,135	0,010	0,138
8	03.03.2023	16,2528610 50,8066570	3,24	0,116	0,009	0,118
9	03.03.2023	16,2538930 50,8068510	2,70	0,096	0,007	0,098
10	03.03.2023	16,2542310 50,8065490	2,57	0,092	0,007	0,093
11	03.03.2023	16,2554060 50,8066760	2,43	0,087	0,006	0,088
12	03.03.2023	16,2542820 50,8068200	2,84	0,101	0,008	0,103
13	03.03.2023	16,2548830 50,8070100	3,79	0,135	0,010	0,138
14	03.03.2023	16,2556180 50,8072900	1,89	0,068	0,005	0,069
15	03.03.2023	16,2552930 50,8074560	1,76	0,063	0,005	0,064
16	03.03.2023	16,2542580 50,8072520	2,57	0,092	0,007	0,093
17	03.03.2023	16,2525920 50,8063710	2,84	0,101	0,008	0,103
18	03.03.2023	16,2517470 50,8068150	3,79	0,135	0,010	0,138
19	03.03.2023	16,2520770 50,8069350	3,38	0,121	0,009	0,123
20	03.03.2023	16,2515760 50,8071400	3,11	0,111	0,008	0,113
21	03.03.2023	16,2509210 50,8073570	2,30	0,082	0,006	0,084
22	03.03.2023	16,2517770 50,8074910	2,03	0,073	0,005	0,074

Ciąg dalszy na następnej stronie

Tabela 3: Zestawienie lokalizacji pionów pomiarowych oraz wyników pomiarów natężenia pola elektrycznego, pomiary szerokopasmowe (c.d.)

Nazwa	Data	Współrzędne geograficzne	E	WM _E	H	WM _H
		[°]	[$\frac{V}{m}$]		[$\frac{A}{m}$]	
23	03.03.2023	16,2504090 50,8068710	1,49	0,053	0,004	0,054
24	03.03.2023	16,2535350 50,8059940	3,11	0,111	0,008	0,113
25	03.03.2023	16,2536720 50,8057460	3,24	0,116	0,009	0,118
26	03.03.2023	16,2532130 50,8053550	2,84	0,101	0,008	0,103
27	03.03.2023	16,2541520 50,8056620	5,41	0,193	0,014	0,197
28	03.03.2023	16,2540100 50,8055720	3,92	0,140	0,010	0,142
29	03.03.2023	16,2538490 50,8054750	3,65	0,130	0,010	0,133
30	03.03.2023	16,2536180 50,8051120	3,11	0,111	0,008	0,113
31	03.03.2023	16,2535270 50,8045120	1,22	0,044	0,003	0,044
32	03.03.2023	16,2540960 50,8048650	1,22	0,044	0,003	0,044
33	03.03.2023	16,2542930 50,8047430	0,95	0,034	0,003	0,035

Podsumowanie

Na podstawie wyników pomiarów pola elektromagnetycznego przedstawionych w niniejszym raporcie o nr P4/56/2023 opracowanym przez A-CONNECT Anna Garwol-Porosa stwierdza się, że w otoczeniu stacji bazowej WAL3111 dopuszczalne poziomy pól elektromagnetycznych w środowisku, określone w przepisach wydanych na podstawie art. 122 ust. 1 ustawy z dnia 27 kwietnia 2001 r. – Prawo ochrony środowiska uznaje się za **dotrzymane**. Udokumentowano, że w żadnym pionie pomiarowym wartości wskaźnikowe WM_E oraz WM_H nie przekroczyły 1.

Osoby odpowiedzialne

Wykonanie pomiarów: b.d.

Opracowanie sprawozdania: b.d.

Autoryzacja sprawozdania: Łukasz Porosa (Kierownik ds. jakości)